



전단탭이 없는 상·하부 스플릿 티 접합부의 접합부상세 개발

양재근^{1*} · 김용범²

¹교수, 인하대학교, 건축공학과, ²석사과정, 인하대학교, 건축공학과

Development of Connection Details for a Double Split Tee Connection Without a Shear Tab

Yang, Jae Guen^{1*}, Kim, Yong Boem²

¹Professor, Department of Architectural Engineering, Inha University, Incheon, 22212, Korea

²Graduate Student, Department of Architectural Engineering, Inha University, Incheon, 22212, Korea

Abstract - The double split tee connection, a type of beam-to-column moment connection, exhibits different behavioral characteristics according to changes in the thickness of the T-stub flange, the gauge distance of the high-strength bolt, and the number and diameter of high-strength bolts. In general, the double split tee connection is idealized and designed so that a T-stub fastened to the top and bottom supports a flexural moment, and a shear tab supports a shear force. However, if the double split tee connection is applied to low-and medium-rise steel structures, the size of the beam member becomes small, and thus the shear tab cannot be bolted to the web of a beam. In this regard, this study was conducted to propose connection details to ensure that the double split tee connection with a geometric shape can display sufficient shear resisting capacity. To this end, experiments were conducted using full-scale specimens for the double split tee connection.

Keywords - Double split tee connection, Shear tab, Shear resisting capacity, Connection detail

1. 서론

상·하부 스플릿 티 접합부는 부분강접 접합부(full strength-partially restrained connection)의 한 형태로 보통모멘트 골조 혹은 특수모멘트골조 등에 적합한 접합부로 분류된다 [1],[2],[3],[4],[5],[6],[7],[8]. 상·하부 스플릿 티 접합부의 한계상태로는 보 플랜지에 체결된 고장력볼트의 전단파단, T-stub 스템의 순단면 파단, T-stub 플랜지의 휨항복 후 소성파단, T-stub 플랜지에 체결된 고장력볼트의 인장파단, T-stub 스템의 블록전단 파단, 보 플랜지의 전단파단, 기둥 플랜지의 휨항복, 전단탭의 전단항복, 전단탭의 전단파단, 전단탭

의 블록전단 파단, 전단탭-기둥 플랜지 용접부 파단, 전단탭에 체결된 고장력볼트의 전단파단 등이 있다. 이러한 접합부의 한계상태로 인하여 상·하부 스플릿 티 접합부가 파괴되지 않도록 상·하부 T-stub은 작용하는 휨모멘트를 지탱하고 전단탭은 전단력을 지탱하는 것으로 이상화하여 설계되고 있다 [9],[10],[11],[12],[13],[14]. 그러나 상·하부 스플릿 티 접합부가 작은 춤의 보 부재로 구성된 중·저층의 강구조물에 적용되는 경우에는 기하학적 형상에 의하여 전단탭을 적용하지 못하는 상황이 발생한다. 이에 대한 방안으로 양재근 등은 해석적 연구를 통하여 하부 T-stub에 체결되는 고장력볼트의 개수 혹은 직경을 증가시켜 추가된 고장력볼트가 전단탭의 역할을 대신하여 전단력을 지탱하도록 하는 접합부상세를 제안하였다 [15],[16],[17],[18]. 따라서 이 연구는 양재근 등이 제안한 전단탭이 없는 상·하부 스플릿 티 접합부가 충분한 강성, 강도, 에너지소산능력 등을 발휘하는 가를 실험적 연구를 통하여 확인하기 위하여 진행하였다 [11],[19],[20],[21].

Note.-Discussion open until August 31, 2016. This manuscript for this paper was submitted for review and possible publication on January 11, 2016; revised February 11, 2016; approved on February 17, 2016.

Copyright © 2016 by Korean Society of Steel Construction

*Corresponding author.

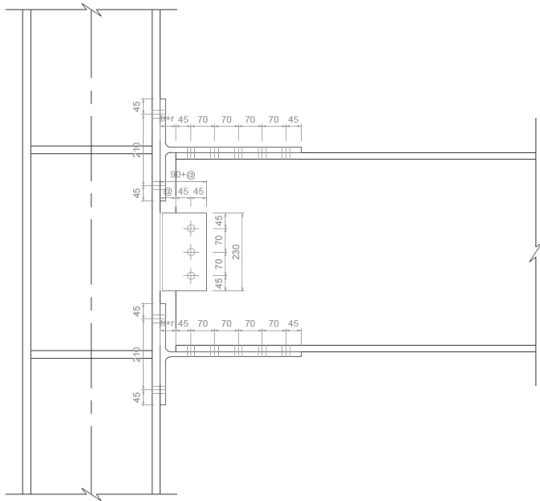
Tel. +82-32-860-7588 Fax. +82-32-866-4624

E-mail. jyang@inha.ac.kr

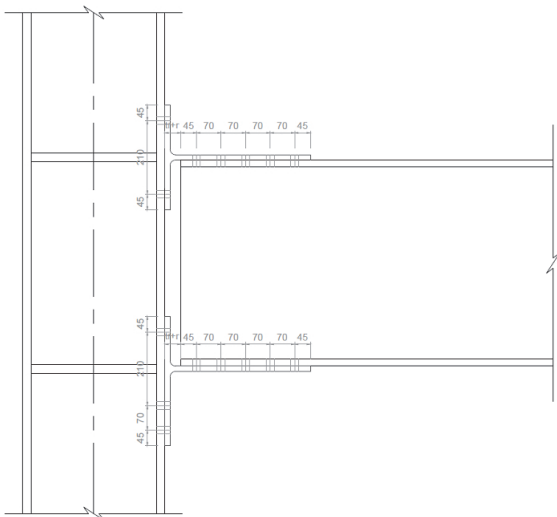
2. 전단탭이 없는 상·하부 스플릿 티 접합부에 대한 실험

2.1 접합부의 설계전단강도 및 설계휨강도

상·하부 스플릿 티 접합부의 설계전단강도는 식 (1)~(6)로 정리되는 Fig. 1(a)에 나타난 전단탭의 한계상태를 검토하여 파악하였다. 이를 통하여 산정한 설계전단강도는 Fig. 1(b)에 정리한 하부 T-stub에 추가적으로 체결할 고장력볼트의 개수 및 직경 산정에 활용한다. 즉, 전단탭의 한계상태를 검토하여 산정한 설계전단강도 값을 식 (2)을 적용하여 얻은 고장력볼트의 전단파단 강도 값으로 나누어 추가할 고



(a) Double split tee connection with a shear tab



(b) Double split tee connection without a shear tab

Fig. 1. Geometric shape of Double split tee connection without a shear tab

장력볼트의 개수 및 직경을 구한다. 이때 고장력볼트는 1면 전단이고 고장력볼트의 나사부가 전단면에 포함된 것으로 가정한다.

체결된 한 개의 고장력볼트의 지압강도:

$$\phi R_n = \phi(1.2L_c t F_u) \leq \phi(2.4dt F_u), \phi = 0.75 \quad (1)$$

체결된 한 개의 고장력볼트의 전단파단강도:

$$\phi R_n = \phi F_{nv} A_b, \phi = 0.75 \quad (2)$$

전단탭의 전단항복강도:

$$\phi R_n = \phi(0.6F_y A_{gv}), \phi = 1.0 \quad (3)$$

전단탭의 전단파단강도:

$$\phi R_n = \phi(0.6F_u A_{nv}), \phi = 0.75 \quad (4)$$

전단탭의 블록전단강도:

$$\phi R_n = \phi(0.6F_u A_{nv} + U_{bs} F_u A_{nt}) \leq \phi(0.6F_u A_{gv} + U_{bs} F_u A_{nt}), \phi = 0.75 \quad (5)$$

전단탭의 용접부 파단강도:

$$\phi R_n = \phi[0.6F_{E70}(0.7sL)], \phi = 0.75 \quad (6)$$

일반적으로 강구조물의 설계에 있어서 강 기둥-약 보 (strong column-weak beam) 설계개념을 적용한다. 그러므로 이 연구에 있어서 기둥 패널존의 전단항복 및 기둥 플랜지의 국부좌굴에 의한 기둥 부재의 파괴가 발생하지 않도록 식 (7) ~ 식 (8)를 적용하여 검토하였다. 또한 추가적으로 패널존은 복판재(doubler plates)와 연속판재(continuity plates) 보강하였다. 상·하부 스플릿 티 접합부의 설계휨강도는 식 (9)~식 (18)로 정리되는 T-stub 및 T-stub에 체결된 고장력볼트의 한계상태를 검토하여 파악하였다. Fig. 2은 설계휨강도 산정에 있어서 적용된 상·하부 스플릿 티 접합부의 기하학적 형상변수를 나타낸다.

패널존의 두께 검토 식:

$$\phi R_n = \phi(0.6F_y dt_w), \phi = 0.9 \quad (7)$$

기둥 플랜지의 두께 검토 식:

$$\phi R_n = \phi(6.25t_f^2 F_y) < P_u, \phi = 0.9 \quad (8)$$

보 플랜지에 체결된 고장력볼트의 전단파단강도 M_{fail1} :

$$M_{fail,1} = 2NA_b(F_{V,bolt})d \cdot L_{TF1} \quad (9)$$

여기서,

$$L_{TF1} = \frac{L - d_c}{L - d_c - (2S_1 + S_3)} \quad (10)$$

T-stub 스템의 순단면 파단강도 M_{fail2} :

$$M_{fail,2} = F_u T w - 2(d_{bt} + 2)t_{stem} \cdot (d + t_{stem}) \cdot L_{TF2} \quad (11)$$

여기서,

$$w = \min \left| \begin{array}{l} \text{the flange} \leq \text{ngth of the T} \\ \text{the width of the T at the first of bolts} \end{array} \right|$$

$$w \leq g_t + S_3 \tan \theta_{eff} \quad (12)$$

$$15^\circ \leq \theta_{eff} = 60 t_{stem} \leq 30^\circ$$

$$L_{TF2} = \frac{L - d_c}{L - d_c - 2S_1} \quad (13)$$

T-stub 플랜지의 휨항복강도 M_{fail3} :

$$M_{fail,3} = \frac{(2a' - \frac{d_{bt}}{4})wF_y t_f^2 (d - t_{stem})}{4a'b' - d_{bt}(b' + a')} \quad (14)$$

여기서,

$$a' = a + \frac{d_{bt}}{2} \quad (15)$$

$$b' = b - \frac{d_{bt}}{2}$$

T-stub 플랜지에 체결된 고장력볼트의 인장파단강도

M_{fail4} :

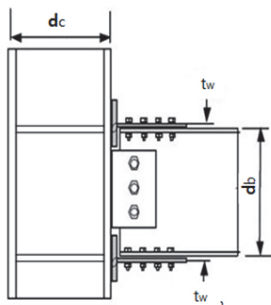
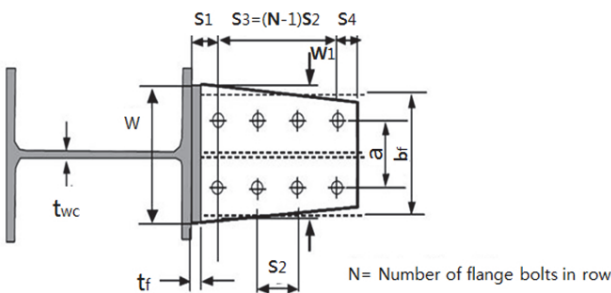
$$M_{fail,4} = n_{tb}(d + t_{stem}) \cdot (T_{ub} + \frac{wF_y t_f^2}{16a'}) \cdot \frac{a'}{a' + b'} \quad (16)$$

보 플랜지의 순단면파단강도 M_{fail5} :

$$M_{fail,5} = [F_{u,bm}Z_b - 2(d_{bt,hole} + 2)t_{fb}(d - t_{fb})]L_{TF3} \quad (17)$$

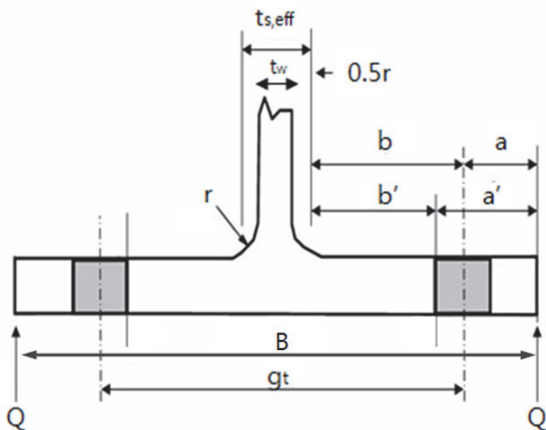
여기서,

$$L_{TF3} = \frac{L - d_c}{L - d_c - 2(S_1 + S_3)} \quad (18)$$



Geometry for Other T-Stub Failure Modes

(a) Geometry for T-stub failure modes



(b) Geometry for prying forces and bending of T-section flanges

Fig. 2. Geometry variables in T-stub failure modes

2.2 접합부의 실험체 계획

전단탭이 없는 상·하부 스플릿 티 접합부의 강도 및 에너지 소산능력은 전단탭이 있는 상·하부 스플릿 티 접합부의 강도 및 에너지 소산능력과 비교하였다. 이를 통하여 전단탭이 없는 상·하부 스플릿 티 접합부의 적용 가능성을 평가하고자 한다. 전단탭이 없는 상·하부 스플릿 티 접합부의 실험체를 구성하는데 있어서 하부 T-stub 플랜지에 추가된 고장력볼트의 개수는 Table 1에 정리한 것과 같이 전단탭의 전단파단 한계상태에 근거하여 식 (2)를 적용하여 Table 2와 같

이 구하였다. 두 가지 형태의 상·하부 스플릿 티 접합부 실험체의 기하학적 형상변수는 Table 3에 정리하였다. Table 3에 정리한 것과 동일한 기하학적 형상을 갖는 실험체는 각각 2개씩 제작하여 실험을 진행하였다. 상·하부 T-stub은 F10T-M20 고장력볼트를 적용하여 H-406x403x16x24 규격의 기둥 부재와 H-588x300x12x20 규격의 보 부재에 체결되었다. F10T-M20 고장력볼트는 165kN의 볼트축력이 발생하도록 초기장력을 도입하여 체결하였다. 상·하부 스플릿 티 접합부를 구성하는 각 부재의 재료적 물성값은 Table 4에 정리하였다. 접합부 실험체에 작용하는 하중은 FEMA350에서 제시한 재하조건을 적용하여 보 단부에 연직방향의 반복하중 형태로 가하였다. 하중작용에 따른 접합부에 발생하는 변위는 Fig. 3과 같이 LVDT를 설치하여 측정하였다.



(a) Double split tee connection with a shear tab



(b) Double split tee connection without a shear tab

Fig. 3. Double split tee connection experimental specimens

Table 1. A comparison of design shear strength values of the shear tab

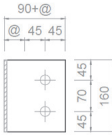
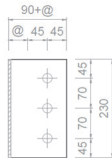
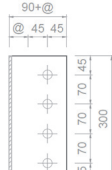
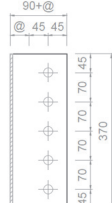
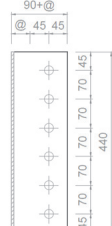
| Shear tab model | Design shear strength of a shear tab (kN) | |
|--|---|---------|
| | Failure Mode | Value |
|  | Bearing fracture | 552.96 |
| | Shear yield | 270.72 |
| | Shear fracture | 203.04 |
| | Block shear | 325.44 |
| | Weld fracture | 296.35 |
| | Bolt fracture | 188.4 |
|  | Bearing fracture | 725.76 |
| | Shear yield | 389.16 |
| | Shear fracture | 354.24 |
| | Block shear | 414.27 |
| | Weld fracture | 426.01 |
| | Bolt fracture | 282.6 |
|  | Bearing fracture | 898.56 |
| | Shear yield | 507.60 |
| | Shear fracture | 505.44 |
| | Block shear | 503.10 |
| | Weld fracture | 555.66 |
| | Bolt fracture | 376.8 |
|  | Bearing fracture | 1071.36 |
| | Shear yield | 626.04 |
| | Shear fracture | 656.64 |
| | Block shear | 591.93 |
| | Weld fracture | 685.31 |
| | Bolt fracture | 471.00 |
|  | Bearing fracture | 1244.16 |
| | Shear yield | 774.48 |
| | Shear fracture | 807.84 |
| | Block shear | 680.76 |
| | Weld fracture | 814.97 |
| | Bolt fracture | 565.20 |

Table 2. The number of high-strength bolts added to the bottom T-stub flange

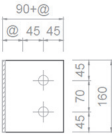
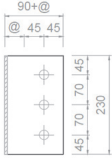
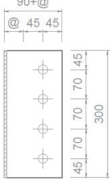
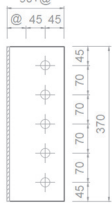
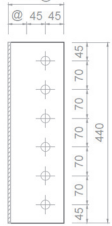
| Shear tab model | Design shear strength per bolt (kN) | | Number of high strength bolts required |
|---|-------------------------------------|----------|--|
| | F10T M20 | F10T M22 | |
|  | F10T M20 | 94.2 | 2 |
| | F10T M22 | 113.98 | 2 |
| | F10T M24 | 135.64 | 2 |
|  | F10T M20 | 94.2 | 3 |
| | F10T M22 | 113.98 | 3 |
| | F10T M24 | 135.64 | 3 |
|  | F10T M20 | 94.2 | 4 |
| | F10T M22 | 113.98 | 4 |
| | F10T M24 | 135.64 | 3 |
|  | F10T M20 | 94.2 | 5 |
| | F10T M22 | 113.98 | 5 |
| | F10T M24 | 135.64 | 4 |
|  | F10T M20 | 94.2 | 6 |
| | F10T M22 | 113.98 | 5 |
| | F10T M24 | 135.64 | 5 |

Table 3. Geometric variables of T-stub (unit:mm)

| Experimental test specimen | a_{top} | a_{bot} | b_{top} | b_{bot} | c | b_f | t_w | t_f | g_t | r |
|----------------------------|-----------|-----------|-----------|-----------|-----|-------|-------|-------|-------|-----|
| G160-T28-B250-SI | 45 | 45 | 54 | 54 | - | 250 | 16 | 28 | 160 | 18 |
| G160-T28-B250-SO | 45 | 45 | 54 | 54 | 75 | 250 | 16 | 28 | 160 | 18 |
| G210-T21-B300-SI | 45 | 45 | 76.5 | 76.5 | - | 300 | 13 | 21 | 210 | 22 |
| G210-T21-B300-SO | 45 | 45 | 76.5 | 76.5 | 75 | 300 | 13 | 21 | 210 | 22 |

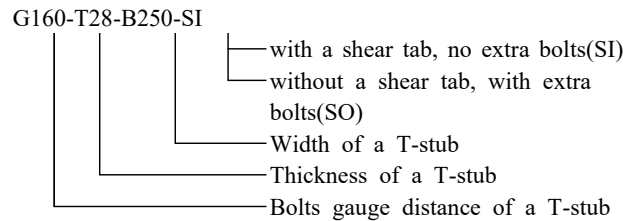


Table 4. Material properties of each member used

| | F_y (N/mm ²) | F_u (N/mm ²) | E (N/mm ²) | ϵ_y | ϵ_u |
|------------------|-------------------------------|-------------------------------|-----------------------------|--------------|--------------|
| Beam | 360.657 | 548.294 | 196,999 | 0.001830 | 0.16734 |
| Column | 361.235 | 549.578 | 179,571 | 0.002011 | 0.16897 |
| T-stub | 338.541 | 496.281 | 217,697 | 0.001555 | 0.16979 |
| Shear tab | 346.861 | 500.254 | 219,730 | 0.001578 | 0.17003 |
| Stiffener | 323.994 | 492.465 | 215,960 | 0.001500 | 0.16428 |
| Doubler plate | 397.951 | 515.036 | 216,010 | 0.001842 | 0.16772 |
| Continuety plate | 367.039 | 500.762 | 219,992 | 0.001668 | 0.16787 |

2.3 접합부의 설계힘강도 및 모멘트-회전각 관계 이력 곡선

Fig. 4(a)에 나타난 것과 같이 G160-T28-B250-SI 실험체 A, B는 하중이 증가하여도 T-stub 플랜지에는 휨항복에 의한 소성변형이 발생하지 않았다. 최종적으로 G160-T28-B250-SI 실험체 A, B는 각각 824.14kN·m, 886.13 kN·m의 휨모멘트가 작용할 때 T-stub 스템에 체결된 고장력볼트의 전단파단에 의하여 파괴되었다. 마찬가지로 Fig. 4(b)에 나타난 것과 같이 G160-T28-B250-SO 실험체 A, B도 G160-T28-B250-SI 실험체와 같이 하중이 증가하여도 T-stub 플랜지에는 휨항복에 의한 소성변형이 발생하지 않았다. 최종적으로 G160-T28-B250-SO 실험체 A, B는

각각 748.88kN·m, 793.19kN·m의 휨모멘트가 작용할 때 하부 T-stub 스템에 체결된 고장력볼트의 전단파단에 의하여 파괴되었다. Fig. 4(b)에 나타난 것과 같이 전단탭이 없는 G160-T28-B250-SO 실험체 A, B의 하부 T-stub 플랜지에 체결된 고장력볼트의 전단파단은 발생하지 않았다. 또한, 하부 T-stub 필릿부의 전단파단도 발생하지 않았다. 두 실험체 모두 하부 T-stub 스템에 체결된 고장력볼트의 전단파단에 의하여 파괴된 이유는 각 실험체의 T-stub 플랜지의 두께가 상대적으로 두껍고 T-stub 플랜지에 체결된 고장력볼트의 게이지 거리도 짧기 때문으로 판단된다.

Fig. 4(c)에 나타난 것과 같이 G210-T21-B300-SI 실험체 A, B는 하중이 증가함에 따라서 T-stub 플랜지에는 휨항복에 의한 변형이 발생하였다. 최종적으로 G210-T21-B300-SI 실험체 A, B는 각각 1,104.55kN·m, 822.56kN·m의 휨모멘트가 작용할 때 T-stub 플랜지에 체결된 고장력볼트의 인장파단에 의하여 파괴되었다. 마찬가지로 Fig. 4(d)에 나타난 것과 같이 G210-T21-B300-SO 실험체 A, B도 G210-T21-B300-SI 실험체 A, B와 같이 하중이 증가함에 따라서 T-stub 플랜지에는 휨항복에 의한 변형이 발생하였다. 최종적으로 G210-T21-B300-SO 실험체 A, B는 각각 1,143.77kN·m, 1,088.91kN·m의 휨모멘트가 작용할 때 T-stub 플랜지에 체결된 고장력볼트의 인장파단에 의하여 파괴되었다. Fig. 4(d)에 나타난 것과 같이 전단탭이 없는 G210-T21-B300-SO 실험체 A, B의 하부 T-stub 플랜지에 체결된 고장력볼트의 전단파단은 발생하지 않았다. 또한, 하부 T-stub 필릿부의 전단파단도 발생하지 않았다. 두 실험체 모두 하부 T-stub 플랜지에 체결된 고장력볼트의 인장파단에 의하여 파괴된 이유는 G160-T28-B250-SO 실험체보다 G210-T21-B300-SO 실험체의 T-stub 플랜지의 두께가 상대적으로 얇아지고 T-stub 플랜지에 체결된 고장력볼트의 게이지 거리도 길어진 것 때문으로 판단된다. 이러한 파괴양상은 일반적으로 축방향 인장력을 받는 T-stub 접합부의 파괴양상과 유사한 거동특성을 나타내고 있다.

Table 5에 나타난 것과 같이 T-stub 플랜지의 두께가 두껍고 고장력볼트 게이지 거리가 짧은 G160-T28-B250 실험체의 파괴하중이 G210-T21-B300 실험체보다 높았다. 또한, 전단탭이 있는 G160-T28-B250-SI 실험체와 G210-T21-B300-SI 실험체의 파괴하중은 전단탭이 없는 G160-T28-B250-SO 실험체와 G210-T21-B300-SO 실험체의 파괴하중 보다는 높았으나 파괴강도 차이는 크지 않았다.

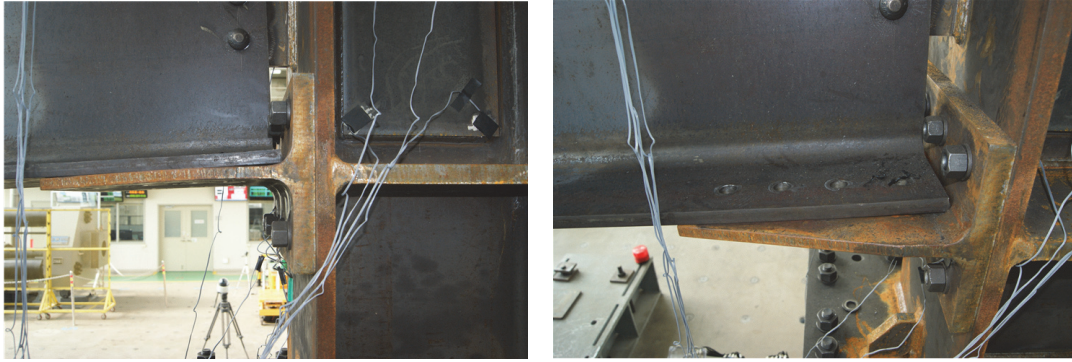
일반적으로 접합부의 에너지소산능력은 모멘트-회전각 관계 이력곡선의 내부면적의 총합으로 나타낼 수 있다. Fig. 5와 Table 6에 나타난 것과 같이 T-stub 플랜지의 휨항복 후 소성변형 발생이 큰 G210-T21-B300 실험체가 T-stub 플랜지의 휨항복이 발생하지 않은 G160-T28-B250 실험체보다 더 큰 에너지소산능력을 발현하고 있다. 또한, 전단탭이 없는 G160-T28-B250-SO 실험체와 G210-T21-B300-SO 실험체의 에너지소산능력이 전단탭이 없는 G160-T28-B250-SI 실험체 실험체와 G210-T21-B300-SI 실험체의 에너지소산능력 보다 평균적으로 높았다.

Table 5. Flexural strength of double split tee connections (unit: kN·m)

| Experimental test specimen | $M_{fail,1}$ | $M_{fail,2}$ | $M_{fail,3}$ | $M_{fail,4}$ | $M_{fail,5}$ | Fracture moment by Exp. test |
|----------------------------|--------------|--------------|--------------|--------------|--------------|------------------------------|
| G160-T28-B250-SI(a) | 704.5 | 1,713.0 | 541.7 | 489.4 | 2,041.6 | 1,104.5 |
| G160-T28-B250-SI(b) | 704.5 | 1,713.0 | 541.7 | 489.4 | 2,041.6 | 866.7 |
| G160-T28-B250-SO(a) | - | 1,713.0 | 541.7 | 489.4 | 2,041.6 | 1,088.9 |
| G160-T28-B250-SO(b) | - | 1,713.0 | 541.7 | 489.4 | 2,041.6 | 1,143.7 |
| G210-T21-B300-SI(a) | 702.2 | 1,380.6 | 213.5 | 339.4 | 2,035.0 | 829.9 |
| G210-T21-B300-SI(b) | 702.2 | 1,380.6 | 213.5 | 339.4 | 2,035.0 | 893.9 |
| G210-T21-B300-SO(a) | - | 1,380.6 | 213.5 | 339.4 | 2,035.0 | 954.6 |
| G210-T21-B300-SO(b) | - | 1,380.6 | 213.5 | 339.4 | 2,035.0 | 961.7 |

Table 6. A comparison of energy dissipation capacity values of each experimental test specimen

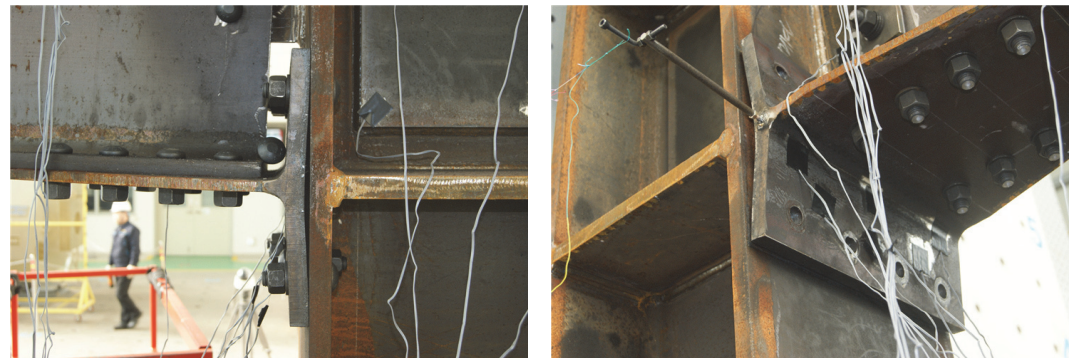
| Experimental test specimen | E_d (kN·m) |
|----------------------------|--------------|
| G160-T28-B250-SI-A | 155.76 |
| G160-T28-B250-SI-B | 118.11 |
| G160-T28-B250-SO-A | 114.22 |
| G160-T28-B250-SO-B | 210.37 |
| G210-T21-B300-SI-A | 154.99 |
| G210-T21-B300-SI-B | 220.85 |
| G210-T21-B300-SO-A | 340.18 |
| G210-T21-B300-SO-B | 269.91 |



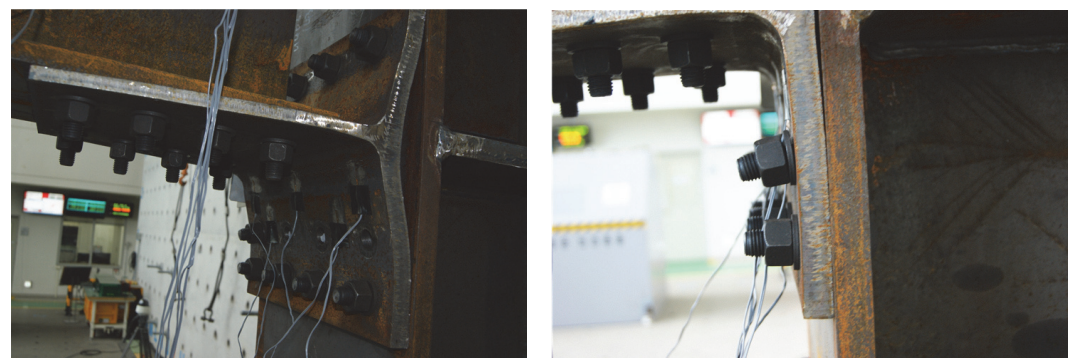
(a) G160-T28-B250-SI specimen A,B



(b) G160-T28-B250-SO specimen A,B



(c) G210-T21-B300-SI specimen A,B



(d) G210-T21-B300-SO specimen A,B

Fig. 4. Failure modes of double split tee connection specimens

3. 전단탭이 없는 상·하부 스플릿 티 접합부에 대한 접합부 상세

3.1 설계휨강도 및 에너지소산능력 평가

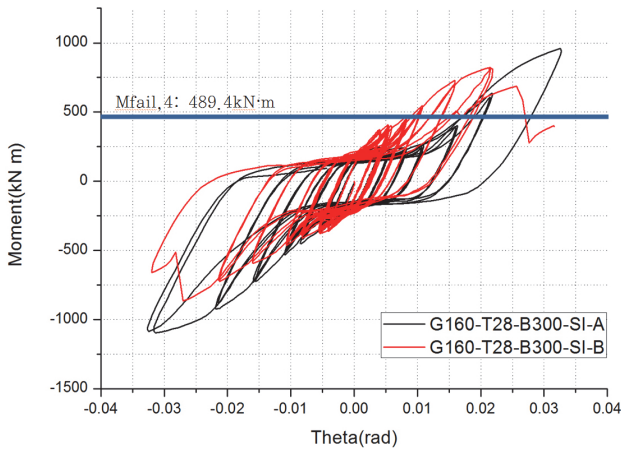
Fig. 5에 나타난 것과 같이 상·하부 스플릿 티 접합부의 설계휨강도는 T-stub 플랜지의 두께가 증가하고 고장력볼트 게이지 거리가 감소 될수록 증가됨을 알 수 있다. Table 5에 정리한 것과 같이 상·하부 스플릿 티 접합부 실험체의 파괴하중 값은 상·하부 스플릿 티 접합부의 설계휨강도 값보다 크다. 또한, 접합부 파괴시의 각 실험체의 회전각은 약 0.035rad 정도이다. 따라서 전단탭이 없는 상·하부 스플릿 티 접합부는 충분한 강도 및 강성을 갖고 있다고 판단한다.

상·하부 스플릿 티 접합부 실험을 통하여 얻은 모멘트-회전각 관계 이력곡선의 내부면적에 해당하는 에너지소산

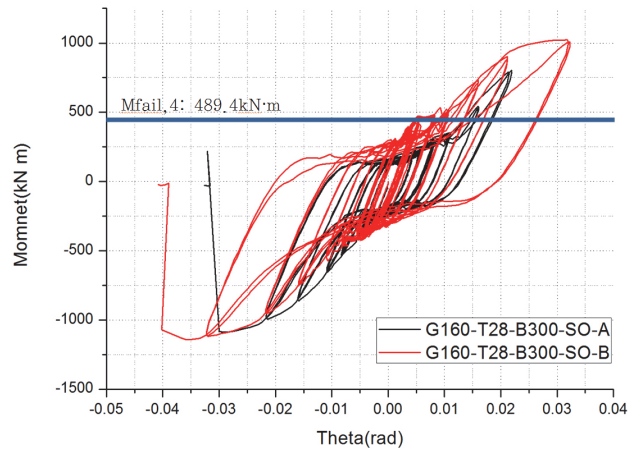
능력은 Table 6에 정리하였다. 이를 활용하여 상·하부 스플릿 티 접합부의 에너지소산능력과 각 접합부의 T-stub 플랜지 두께와 고장력볼트 게이지 거리와의 상관관계를 아래의 무차원화 된 식 (19)와(20)으로 정리하였다. 상·하부 스플릿 티 접합부의 에너지소산능력은 T-stub 플랜지의 두께가 증가하고 고장력볼트 게이지 거리가 감소 될수록 감소됨을 알 수 있다.

$$(E_{D,SI})_{Y_{ang}} = 5,916.525(g_t / t_{fg.}) + 136,941.2 \quad (19)$$

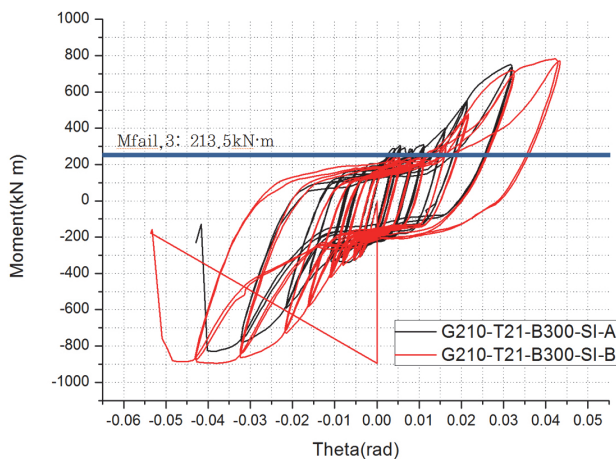
$$(E_{D,SO})_{Y_{ang}} = 27,328.28(g_t / t_{fg.}) + 187,921.9 \quad (20)$$



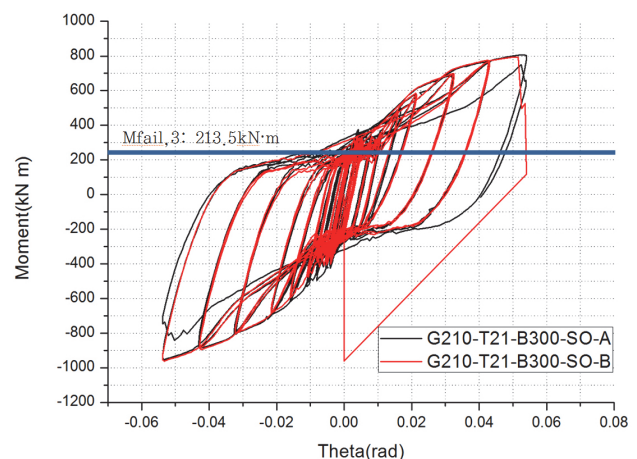
(a) G160-T28-B250-SI specimen A, B



(b) G160-T28-B250-SO specimen A, B



(c) G210-T21-B300-SI specimen A, B



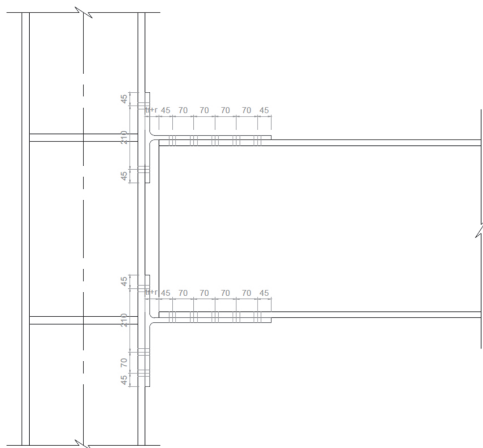
(d) G210-T21-B300-SO specimen A, B

Fig. 5. Moment-Rotation hysteresis curves of double split tee connections

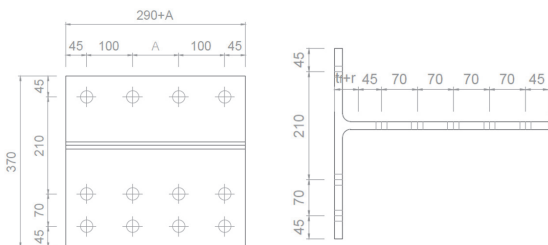
3.2 접합부상세 제안

상·하부 스플릿 티 접합부가 작은 축의 보 부재로 구성된 중·저층의 강구조물에 적용되는 경우에는 기하학적 형상에 의하여 전단탭을 적용하지 못하는 상황이 발생한다. 그러므로 전단탭이 지지하는 전단력을 지탱하기 위한 접합부 상세의 제안이 필요하다. 따라서 이 연구에서는 하부 T-stub에 체결되는 고장력볼트의 개수 혹은 직경을 증가시켜 추가된 고장력볼트가 전단탭의 역할을 대신하여 전단력을 지탱하도록 하는 접합부상세를 제안한다.

전단탭이 없는 상·하부 스플릿 티 접합부의 하부 T-stub 플랜지에 추가 체결되는 고장력볼트의 개수는 Table 1에 정리한 전단탭의 한계상태 중 가장 작은 값을 선택하여 Table 7에 정리한 F10T-M20, F10T-M22 등의 고장력볼트 한 개가 지탱할 수 있는 전단강도 값으로 나누어 Table 8과 9와 같이 결정하였다. Table 8과 Table 9, Fig. 6은 하부 T-stub 플랜지에 추가 체결되는 고장력볼트의 개수를 고려한 접합부상세를 나타낸다.



(a) The detail of Double split tee connection without a shear tab



(b) The detail of the bottom T-stub connection

Fig. 6. The details of the bottom T-stub connection and Double split tee connection without a shear tab

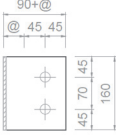
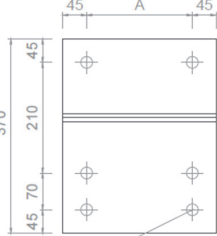
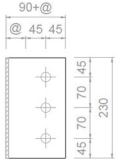
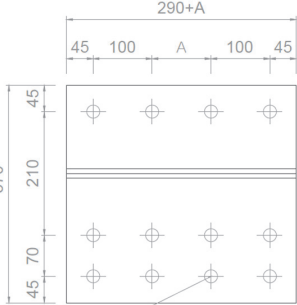
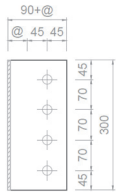
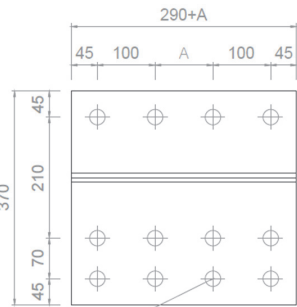
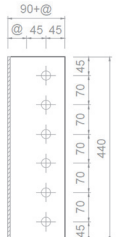
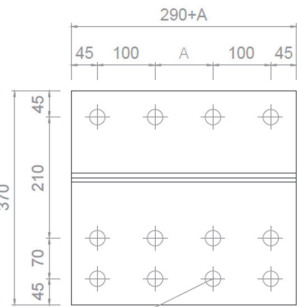
Table 7. Design shear strength values per high-strength bolt

| High strength bolt | Shear strength (kN·m) |
|--------------------|-----------------------|
| F10T M20 | 94.2 |
| F10T M22 | 113.98 |
| F13T M20 | 122.46 |
| F13T M22 | 148.17 |

Table 8. The number of high-strength bolts added to the bottom T-stub flange

| Shear tab model | Design shear strength of high strength bolt (kN) | | Number of high strength bolt |
|-----------------|--|----------|------------------------------|
| | F10T M20 | F10T M22 | |
| | 94.2 | 113.98 | 2 |
| | 94.2 | 113.98 | 2 |
| | 122.46 | 148.17 | 2 |
| | 94.2 | 113.98 | 3 |
| | 94.2 | 113.98 | 3 |
| | 122.46 | 148.17 | 3 |
| | 122.46 | 148.17 | 2 |
| | 94.2 | 113.98 | 4 |
| | 94.2 | 113.98 | 4 |
| | 122.46 | 148.17 | 4 |
| | 122.46 | 148.17 | 3 |
| | 94.2 | 113.98 | 5 |
| | 94.2 | 113.98 | 5 |
| | 122.46 | 148.17 | 4 |
| | 122.46 | 148.17 | 4 |
| | 94.2 | 113.98 | 6 |
| | 94.2 | 113.98 | 5 |
| | 122.46 | 148.17 | 5 |
| | 122.46 | 148.17 | 4 |

Table 9. The details of the shear reinforced bottom T-flange with the array of bolts

| Shear tab model | T-stub model |
|---|---|
|  | <p>F10T M20</p>  <p>ϕ22 (F10T M20)</p> |
|  | <p>F10T M20</p>  <p>ϕ22 (F10T M20)</p> |
|  | <p>F13T M22</p>  <p>ϕ24 (F13T M22)</p> |
|  | <p>F13T M22</p>  <p>ϕ24 (F13T M22)</p> |

4. 결론

이 연구는 보 웹에 전단탭 설치가 어려운 기하학적 형상을 갖는 상·하부 스플릿 티 접합부가 충분한 강도, 강성, 에너지소산능력 등을 발현하도록 하는 접합부상세를 제안

하기 위하여 진행하였다. 이 연구를 통하여 다음과 같은 결론을 얻었다.

- (1) 전단탭이 있는 상·하부 스플릿 티 접합부와 전단탭이 없는 상·하부 스플릿 티 접합부는 T-stub 플랜지의 두께가 증가될수록 고장력볼트 게이지 거리가 감소될수록 설계휨강도 값이 증가하였다.
- (2) 전단탭이 있는 상·하부 스플릿 티 접합부와 전단탭이 없는 상·하부 스플릿 티 접합부는 T-stub 플랜지의 두께가 증가될수록 고장력볼트 게이지 거리가 감소될수록 회전각 변화 및 에너지소산능력 값은 감소되었다.
- (3) 전단탭이 없는 상·하부 스플릿 티 접합부의 설계휨강도 값은 전단탭이 있는 상·하부 스플릿 티 접합부의 설계휨강도 값과 큰 차이는 없었고 하부 T-stub 플랜지에 체결된 고장력볼트의 전단파단 및 하부 T-stub 필릿부의 전단파단도 발생하지 않았다.
- (4) 제안한 전단탭이 없는 상·하부 스플릿 티 접합부에 대한 접합부 상세를 적용하여도 충분한 강도, 강성, 에너지소산능력을 발현하였다. 따라서 제안한 전단탭이 없는 상·하부 스플릿 티 접합부에 대한 접합부 상세는 적용하기 적합하다고 판단한다.

감사의 글

이 연구는 한국연구재단의 지원(과제번호: NRF-2013-R1A1A2008363)에 의하여 수행된 과제의 일부입니다. 이에 논문의 저자들은 깊은 감사의 말씀을 전합니다.

참고문헌(References)

[1] 김희동, 양재근, 이재운, 이형동(2014) 상·하부 T-Stub 접합부의 초기회전강성 평가, 한국강구조학회논문집, 한국강구조학회, 제26권, 제2호, pp.133-142.
Kim, H.D., Yang, J.G., Lee, J.Y., and Lee, H.D. (2014) Evaluation of the Initial Rotational Stiffness of a Double Split Tee Connection, *Journal of Korean Society of Steel Construction*, KSSC, Vol.26, No.2, pp.133-142 (in Korean).

[2] 양재근, 김주우, 김윤(2012) 상·하부 스플릿 T 접합부의 휨강도 설계식, 한국강구조학회논문집, 한국강구조학회, 제

- 24권, 제5호, pp.511-520.
- Yang, J.G., Kim, J.W., and Kim, Y. (2012) Design Formula for the Flexural Strength of a Double Split Tee Connection, *Journal of Korean Society of Steel Construction*, KSSC, Vol.24, No.5, pp.511-520 (in Korean).
- [3] 양재근, 김윤, 박재호(2012) 상·하부 스플릿 T 접합부의 초기회전강성 예측모델, 한국강구조학회논문집, 한국강구조학회, 제24권, 제3호, pp.279-287.
- Yang, J.G., Kim, Y., and Park, J.H. (2012) Prediction Model for the Initial Rotational Stiffness of a Double Split T Connection, *Journal of Korean Society of Steel Construction*, KSSC, Vol.24, No.3, pp.279-287 (in Korean).
- [4] Faella, C., Piluso, V., and Rizzano, G. (2000) *Structural Steel Semirigid Connections: Theory, Design and Software*, CRC Press, UK.
- [5] Kulak, G.L., Fisher, J.W., and Struik, J.H.A. (2001) *Guide to Design Criteria for Bolted and Riveted Joints* (2nd Ed.), American Institute of Steel Construction, USA.
- [6] Yang, J.-G., Park, J.-H., Choi, J.-H., and Kim, S.-M. (2011) Characteristic Behavior of a T-Stub Connection Under Shear, Including the Effects of Prying Action and Bolt Pretension, *Proceedings of 6th International Symposium on Steel Structures*, KSSC, Korea, pp.1086-1092.
- [7] Yang, J.-G., Kim, H.-K., Park, J.-H., Baek, M.-C. (2013) Analytical Models for the Initial Axial Tensile Stiffness and Ultimate Tensile Load of a T-Stub, Including the Effects of Prying Action, *International Journal of Steel Structures*, KSSC, Vol.13, No.2, pp.341-352.
- [8] SAC Joint Venture (2000) *Recommended Seismic Design Criteria for New Steel Moment-Frame Buildings* (FEMA-350), Federal Emergency Management Agency, USA.
- [9] Astaneh-Asl, A. (1985) Procedure For a Design and Analysis of Hanger-Type Connections, *Engineering Journal*, American Institute of Steel Construction, Vol.22, No. 2, pp.63-66.
- [10] Piluso, V., Faella, C., and Rizzano, G. (2001) Ultimate Behavior of Bolted T-Stubs, I: Theoretical Model, *Journal of Structural Engineering*, American Society of Civil Engineers, Vol.127, No.6, pp.686-693.
- [11] Piluso, V., Faella, C., and Rizzano, G. (2001) Ultimate Behavior of Bolted T-Stubs, II: Model Validation, *Journal of Structural Engineering*, American Society of Civil Engineers, Vol.127, No.6, pp.694-704.
- [12] Swanson, J.A. (2002) Ultimate Strength Prying Models for Bolted T-Stub Connections, *Engineering Journal*, American Society of Civil Engineers, Vol.39, No.3, pp. 136-147.
- [13] Swanson, J.A., Kokan, D.S., and Leon, R.T. (2002) Advanced Finite Element Modeling of Bolted T-Stub Connection Components, *Journal of Constructional Steel Research*, Elsevier, Vol.58, pp.1015-1031.
- [14] Thornton, W.A. (1985) Prying Action: A General Treatment, *Engineering Journal*, American Institute of Steel Construction, Vol.22, No.2, pp.67-75.
- [15] Coelho, A.M.G., da Silva, L.S., and Bijlaard, F.S.K. (2004) Characterization of the Nonlinear Behaviour of Single Bolted T-Stub Connections, *Connections in Steel Structures V (Proceedings of the 5th International Workshop on Connections)*, American Institute of Steel Construction & European Convention for Constructional Steel, Netherlands, pp.53-64.
- [16] Coelho, A.M.G., da Silva, L.S., and Bijlaard, F.S.K. (2006) Finite-Element Modeling of the Nonlinear Behavior of Bolted T-Stub Connections, *Journal of Structural Engineering*, American Society of Civil Engineers, Vol.132, No. 6, pp.918-928.
- [17] Lemonis, M.E., and Gantes, C.J. (2006) Incremental Modeling of T-Stub Connections, *Journal of Mechanics of Materials and Structures*, Mathematical Sciences Publishers, Vol.1, No.7, pp.1135-1159.
- [18] Stankiewicz, B. (2002) Experimental Tests of T-Stub Joints and Refined Finite Element Method Computer Model, *Proceedings of EUROSTEEL 2002: The 3rd European Conference on Steel Structures (Vol. 2)*, European Convention for Constructional Steel, Portugal, pp.927-936.
- [19] 양재근, 이형동, 김용범, 배다솔(2015) 전단탭이 없는 상·하부 스플릿 티 접합부의 접합부상세 제안, 한국강구조학회 논문집, 한국강구조학회, 제27권, 제5호, pp.423-433.
- Yang, J.G., Lee, H.D., Kim, Y.B., and Pae, D.S. (2015) Proposal of Connection Details for a Double Split Tee Connection Without a Shear Tap, *Journal of Korean Society of Steel Construction*, KSSC, Vol.27, No.5, pp.423-433 (in Korean).
- [20] 양재근, 최정환, 김현광, 박재호(2011) 무보강 상·하부 T형강 접합부의 소성휨모멘트 저항능력 예측을 위한 실험 및 해석적 연구, 한국강구조학회논문집, 한국강구조학회, 제23권, 제5호, pp.547-555.
- Yang, J.G., Choi, J.H., Kim, H.K., and Park, J.H. (2011) Experimental Tests and Analytical Study for the Prediction of the Plastic Moment Capacity of an Unstiffened Top and Seat Angle Connection, *Journal of Korean So-*

ciety of Steel Construction, KSSC, Vol.23, No.5, pp.547-555 (in Korean).

[21] 오경현, 서성연, 김성용, 양영성, 김규석(2005) 전단접합 및 리브 플레이트로 보강한 H형 보-기둥 접합부의 내진 성능에 관한 실험적 연구, 한국강구조학회논문집, 한국강구조학회, 제17권, 제5호, pp.569-580.

Oh, K.H., Seo, S.Y., Kim, S.Y., Yang, Y.S., and Kim, K.S. (2005) An Experimental Study on the Seismic Performance of Shear Connections and Rib Plate H Beam to Column Connections, *Journal of Korean Society of Steel Construction*, KSSC, Vol.17, No.5, pp.569-580 (in Korean).

기 호(Notation)

A_b : 고장력볼트의 공칭단면적(mm²)
 A_{gv} : 전단면의 총 단면적(mm²)
 A_{nv} : 전단면의 순단면적(mm²)
 A_{nt} : 인장면의 순단면적(mm²)
 a : 고장력볼트 중심과 T-stub 플랜지 끝 단의 거리(mm)
 b : 고장력볼트 볼트구멍 끝단과 T-stub 스템면의 거리(mm)
 b_f : T-stub 플랜지 폭(mm)
 b_T : T-stub 플랜지 분절의 길이(mm)
 d, d_{beam} : 보의 춤(mm)
 d_b : 고장력볼트의 직경(mm)

d_c : 기둥의 폭(mm)
 E : 강재의 탄성계수(N/mm²)
 E_h : 강재의 활선계수(N/mm²)
 F_u : 강재의 인장강도(N/mm²)
 F_{uT} : 고장력볼트의 공칭인장강도(N/mm²)
 F_y : 강재의 항복강도(N/mm²)
 F_{yT} : 고장력볼트의 공칭항복강도(N/mm²)
 F_{nv} : 고장력볼트의 전단강도(N/mm²)
 g_i : T-stub의 고장력볼트 게이지 거리(mm)
 g_i' : 볼트구멍을 제외한 T-stub의 고장력볼트 게이지 거리(mm)
 n_{tb} : 인장볼트의 총 개수
 L_c : 최단 고장력볼트의 순 거리(mm)
 p : 고장력볼트의 피치(mm)
 r : 필릿 반경(mm)
 S_1 : 기둥 외면으로부터 T-stub 스템 첫 번째 고장력볼트 중심간 거리(mm)
 S_2 : T-stub 스템 고장력볼트 사이 거리(mm)
 S_3 : T-stub 스템 양끝단 고장력볼트 사이 거리(mm)
 t : 부재의 두께(mm)
 t_{wc} : 기둥 웨브의 두께(mm)
 $t_f, t_{fT, fl}$: T-stub 플랜지의 두께(mm)
 $t_s, t_{T, stem}$: T-stub 스템의 두께(mm)
 ϵ_u : 강재의 인장 변형률
 ϵ_y : 강재의 항복 변형률

요 약 : 상·하부 스플릿 티 접합부는 보-기둥 모멘트 접합부의 한 형태로 T-stub 플랜지의 두께, 고장력볼트의 게이지 거리, 고장력볼트의 개수, 고장력볼트의 직경 등의 변화에 따라서 상이한 거동특성을 나타낸다. 상·하부 스플릿 티 접합부는 일반적으로 상·하부에 체결된 T-stub이 휨모멘트를 지지하고 전단탭이 전단력을 지지하는 것으로 이상화하여 설계되고 있다. 그러나 중·저층 강구조물에 상·하부 스플릿 티 접합부가 적용되면 보 부재의 규격이 작아지므로 보 웨브에 전단탭을 설치할 수 없는 경우가 발생할 수 있다. 이 연구는 이와 같이 보 웨브에 전단탭 설치가 어려운 기하학적 형상을 갖는 상·하부 스플릿 티 접합부가 충분한 전단력 지지능력을 발현하도록 하는 접합부상세를 제안하기 위하여 진행하였다. 이를 위하여 상·하부 스플릿 티 접합부에 대한 실험체를 제작하여 실물대 실험을 수행하였다.

핵심용어 : 상·하부 스플릿 티 접합부, 전단탭, 전단지능력, 접합부 상세